
アクションゲージ場模型における 暗黒輻射残存量の解析

尾形優仁 (富山大)

- 共同研究者
柿崎充 (富山大) 濑戸治 (北海道大)
- arXiv:2110.12936 [hep-ph]

Big Bang Cosmology

- ✓ 初期宇宙の熱平衡状態や、軽元素合成を予言
 - 宇宙背景輻射（CMB）、軽元素の存在比、赤方偏移の観測から確かめられた
- ✓ 平坦性問題、地平線問題、不要残存物問題などを抱えている
 - 加速膨張期が存在することで問題を回避できる



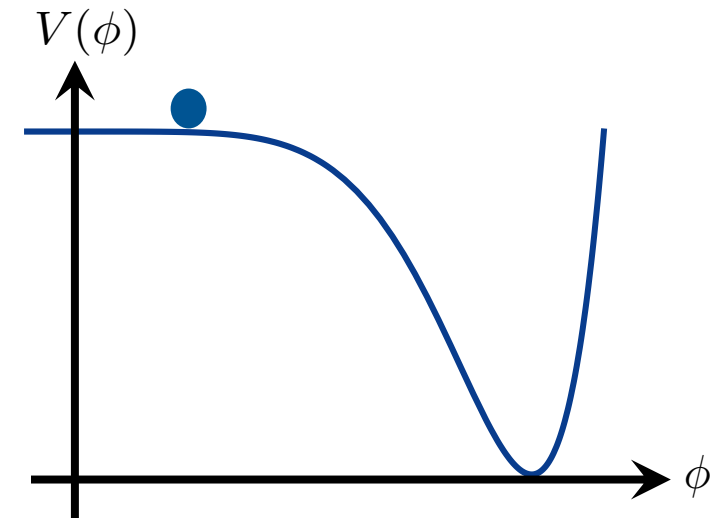
インフレーション

Inflationary Cosmology

✓ インフレーションが起こる条件

$$|\dot{H}| \ll H^2, \quad |\ddot{\phi}| \ll |3H\dot{\phi}|$$

→ 条件を満たす模型が多数存在



✓ インフレーション中の真空揺らぎが重力波を生む

$$\mathcal{P}_h = \frac{2H_{\text{inf}}^2}{\pi^2 M_{\text{pl}}^2}$$

- 重力波の観測からインフレーションスケールが決まる

→ スケールが分かることで模型の選別ができる

Sources of Gravitational Waves

- ✓ 観測される重力波

[Dimastrogiovanni, Fasiello, Fujita. JCAP, Vol. 01 (2017)]

$$r \equiv \mathcal{P}_h / \mathcal{P}_\zeta$$

$$r_{\text{obs}} = r_{\text{vac}} + r_A$$

r_A ...アクシオングージ場由来の
テンソル・スカラー比

- ✓ $r_{\text{obs}} = 0.06$ に対応するインフレーションスケールは

[P. A. R. Ade et al., Phys. Rev. Lett. 121, 221301 (2018)]

- r_{vac} が優位な場合

$$H_{\text{inf}} = 6 \times 10^{12} \text{ GeV}$$

- r_A が優位な場合

$$H_{\text{inf}} \geq 3 \times 10^{12} \text{ GeV}$$



インフレーションスケールが決定できない

Components and Roles

✓ アクションゲージ場模型

$$\mathcal{L} = \mathcal{L}_\phi - \frac{1}{2} \text{Tr}[F_{\mu\nu}F^{\mu\nu}] + \frac{1}{2}g^{\mu\nu}\partial_\mu\chi\partial_\nu\chi - V(\chi) + \frac{\lambda}{2f}\chi \text{Tr}\left[F_{\mu\nu}\tilde{F}^{\mu\nu}\right]$$

- インフラトン(ϕ)
...インフレーションを引き起こす
- Hidden SU(2)ゲージ場(A_μ)
...重力波を生成する
- アクション(χ)
...ゲージ場を励起する

$$3M_{\text{pl}}^2 H^2 \approx \rho_\phi$$

$$\bar{A}_i \delta A_j \rightarrow h_{ij}$$

$$\bar{A}_i^a = aQ \delta_i^a$$

$$H\dot{Q} \approx -\frac{\delta V_{\text{eff}}(Q, \chi)}{\delta Q}$$

Stable Solutions

- ✓ 一様等方な背景場として以下のような自由度が許される

$$A_0^a = 0 , \quad A_i^a = a(t)Q(t)\delta_i^a$$

- ✓ ゲージ場の初期値に強結合条件を課す

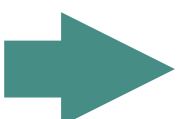
$$\frac{3}{(m_Q\Lambda)^2} \ll 1 , \quad \frac{2}{\Lambda^2} \ll 1$$

$\Lambda \equiv \lambda Q/f$ 規格化されたゲージ場

$m_Q \equiv gQ/H$ ゲージ場の有効質量

- ✓ ゲージ場の運動方程式

$$\dot{Q} \approx -\frac{H}{Q^2} \left(Q^3 + \frac{fV_{,\chi}}{3g\lambda H} \right)$$



$$Q_{\min} = \left(-\frac{fV_{,\chi}}{3g\lambda H} \right)^{1/3}$$

Behavior of Axion

- ✓ 強結合条件が保たれている

$$\rho_{\text{hid}} \simeq \text{const.}$$

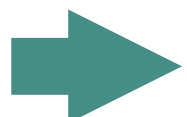
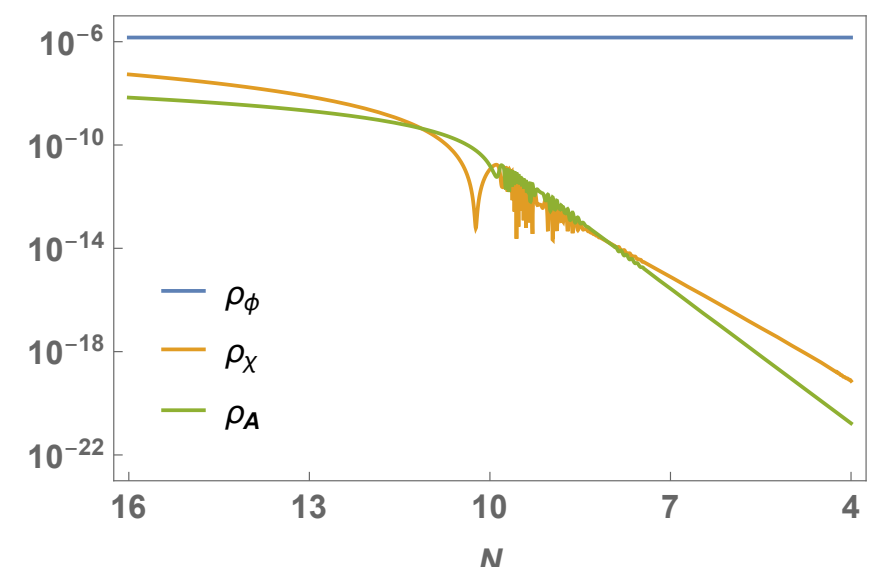
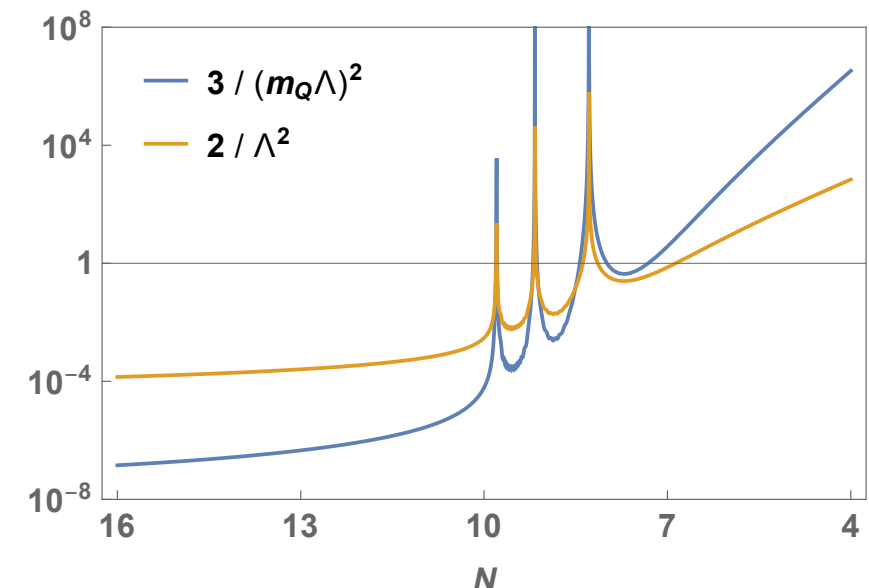
- ✓ 強結合条件が破れる

$$\rho_{\text{hid}} \propto a^{-3}$$

- ✓ $\Gamma \sim H$ のときゲージ場に崩壊する

$$\rho_{\text{hid}} \propto a^{-4}$$

$$\Gamma = \frac{3m_\chi^3 \lambda^2}{64\pi f^2}$$



残存物が暗黒輻射として振る舞う

Dark Radiation

✓ 再結合時の輻射成分のエネルギー密度

$$\begin{aligned}\rho_r &= \rho_\gamma + \frac{7N_{\text{eff}}^{\text{SM}}}{4} \frac{\pi^2}{30} T_\nu^4 + \rho_d \\ &= \rho_\gamma + \left(N_{\text{eff}}^{\text{SM}} + \Delta N_{\text{eff}} \right) \frac{7}{4} \frac{\pi^2}{30} T_\nu^4 \\ &\quad \underline{N_{\text{eff}}^{\text{obs}}} \dots \text{観測される量}\end{aligned}$$

ρ_d ... 暗黒輻射のエネルギー密度
 $N_{\text{eff}}^{\text{SM}}$... SMでのニュートリノの有効自由度

✓ アクションゲージ場の寄与

$$\Delta N_{\text{eff}} = \frac{\rho_{\chi \text{dec}}}{3M_{\text{pl}}^2 \Gamma^2} \left(\frac{g_{*\text{CMB}}}{g_{*\text{dec}}} \right)^{4/3} \left[\frac{8}{7} \left(\frac{11}{4} \right)^{4/3} + N_{\text{eff}}^{\text{SM}} \right]$$

$\rho_{\chi \text{dec}}$... アクション崩壊時のエネルギー密度

→ $N_{\text{eff}}^{\text{obs}}$ の詳細な観測からモデルに制限がかかる

Back Reaction and Scalar Fluctuation

✓ 現在確かめられている制限

[A. Papageorgiou, M. Peloso, and C. Unal. JCAP, Vol. 07 (2019)]

- ゲージ場の摂動から背景場へのバックリアクション

$$\ddot{Q} + 3H\dot{Q} + (\dot{H} + 2H^2)Q + 2g^2Q^3 - g\frac{\lambda}{f}\dot{\chi}Q^2 + \underline{\mathcal{T}_{\text{BR}}^Q} = 0$$

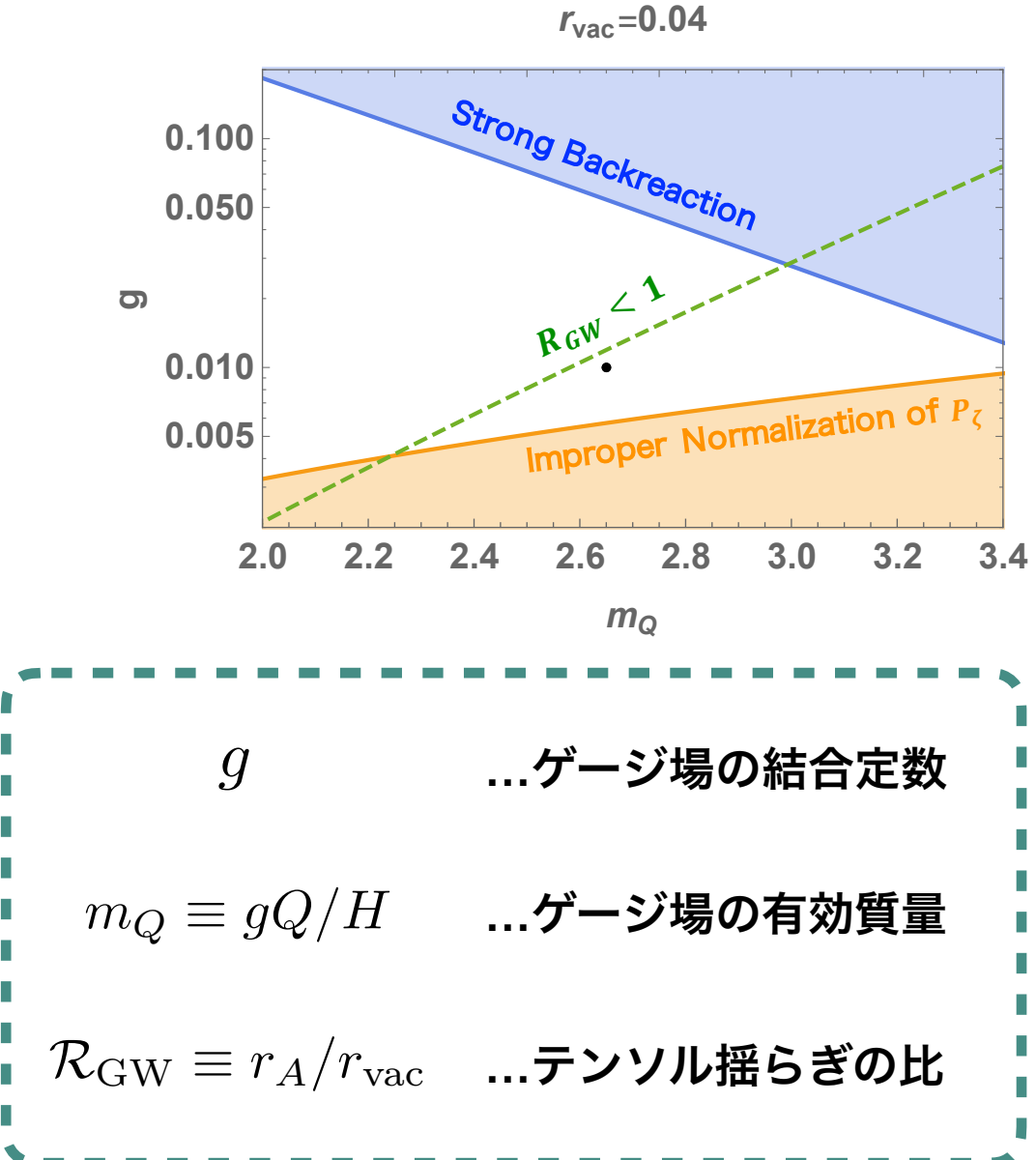
→
$$g \ll \left(\frac{24\pi^2}{2.3e^{3.9m_Q}} \frac{1}{1+m_Q^{-2}} \right)^{1/2}$$

- スカラーー揺らぎ

$$\mathcal{P}_\zeta \simeq \frac{g^2}{8\pi^2 m_Q^4} \frac{\varepsilon_B/\varepsilon_\phi}{(1+\varepsilon_B/\varepsilon_\phi)^2}$$

max 1/4

→
$$\mathcal{P}_\zeta \leq \frac{g^2}{32\pi^2 m_Q^4}$$



Constraints from non-Gaussianity

✓ 非ガウス性による制限

$$\mathcal{R}_{\delta\phi} \equiv \frac{\delta\mathcal{P}_\phi}{\mathcal{P}_\phi} < 0.1$$

$$\mathcal{R}_{\delta\phi} \simeq \frac{5 \times 10^{-12}}{(1 + \varepsilon_B/\varepsilon_\phi)^2} N_k^2 r_{\text{vac}}^2 m_Q^{11} e^{7m_Q}$$

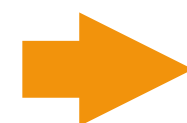
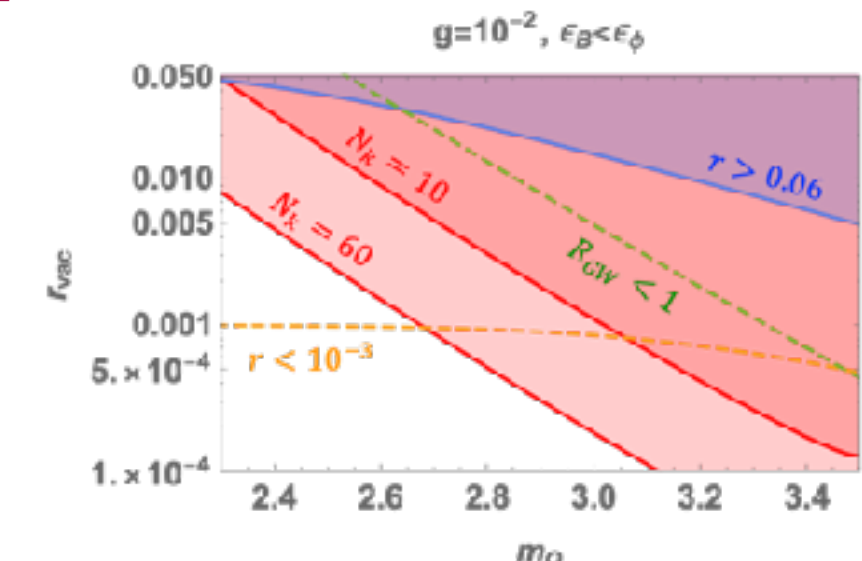
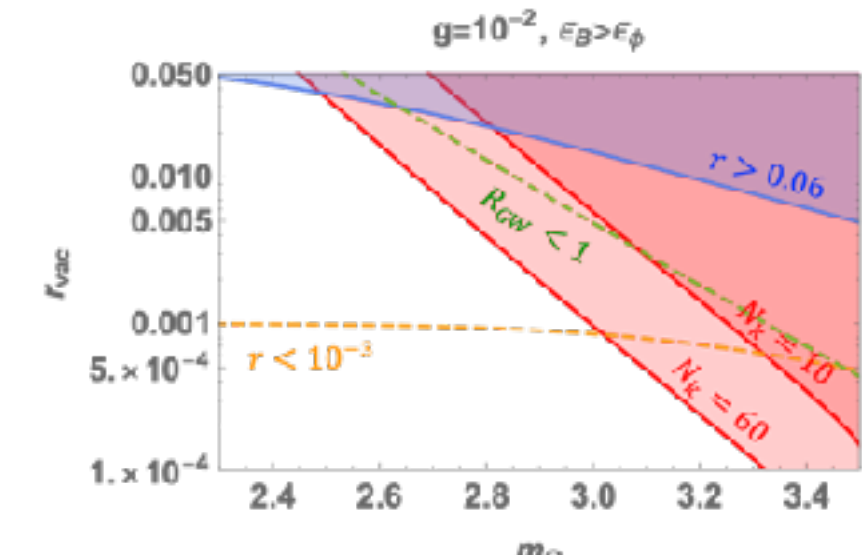
N_k ...アクションが転がる間の
e-folds数

[Dimastrogiovanni, Fasiello, Fujita. JCAP, Vol. 01 (2017)]

$$\mathcal{R}_{\text{GW}} \approx \frac{\varepsilon_B}{2} e^{3.6m_Q} > 1$$

- $\varepsilon_B > \varepsilon_\phi$ のとき、 $r_A > r_{\text{vac}}$ となり得る
領域が存在する

[A. Papageorgiou, M. Peloso, and C. Unal. JCAP, Vol. 07 (2019)]



この領域で残存量を見積もる

Abundance with $R_{GW} > 1$

✓ アクションが崩壊しない場合の残存量

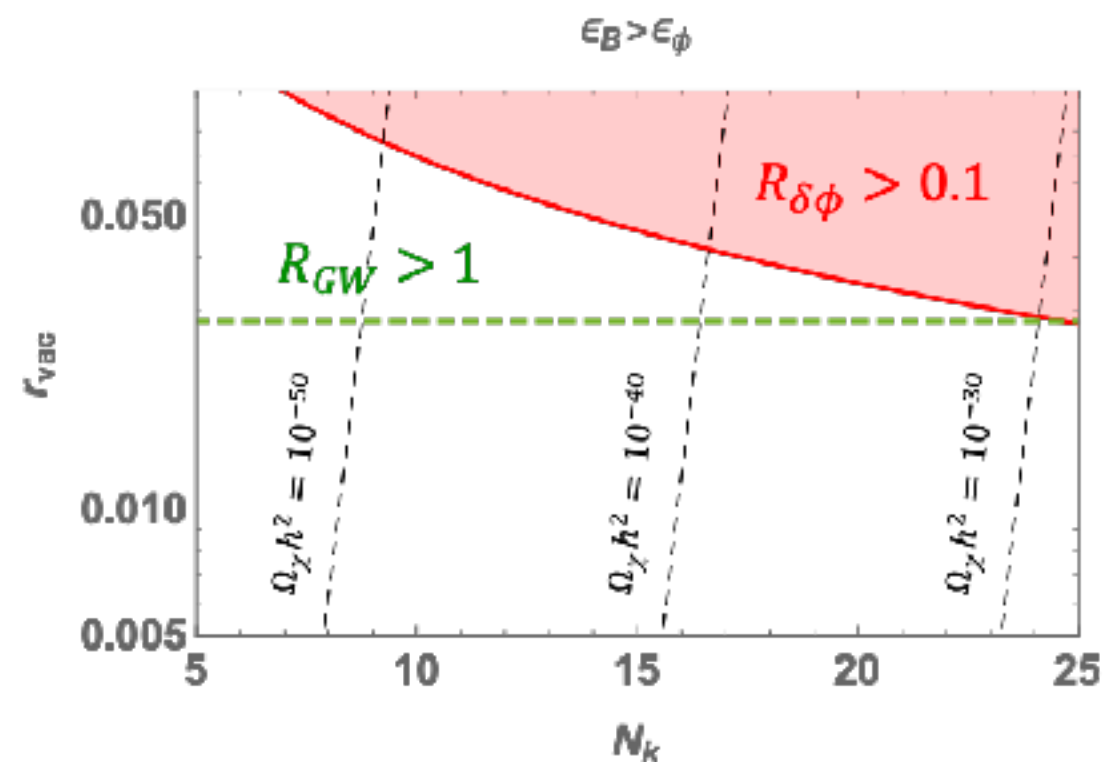
$$\Omega_\chi \propto \left(\frac{1}{r_{\text{vac}}} \right)^{3/2} \rho_{\chi \text{osc}} e^{-3(62 - N_k)}$$

- $\rho_{\chi \text{osc}} = 10^{60} [\text{GeV}]^4$ としても

$$\Omega_{\text{DM}} \leq 10^{-30} h^{-2}$$

- ダークマターの残存量 $\Omega_{\text{DM}} = 0.12 h^{-2}$ と比較して非常に小さい

$$g = 10^{-2}, m_Q = 2.65$$

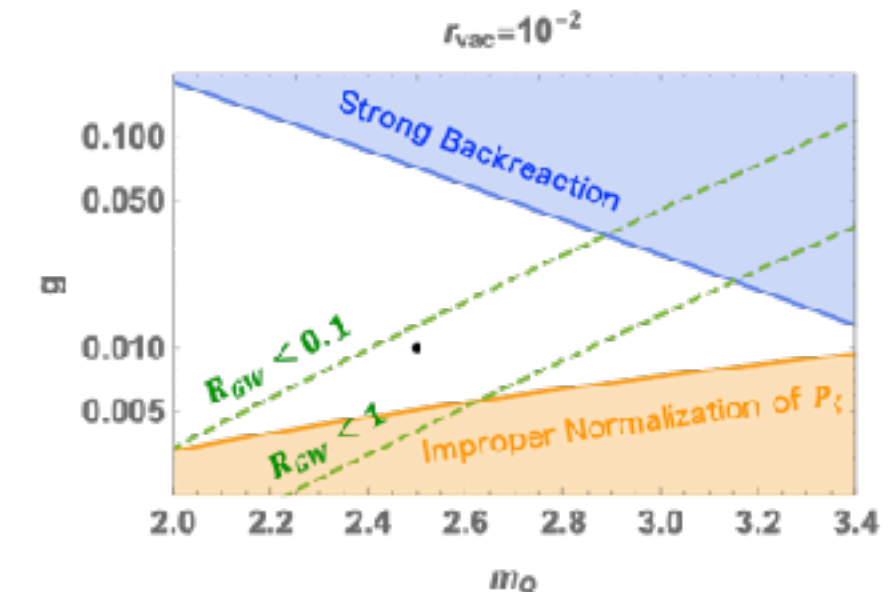


→ $R_{GW} > 1$ の場合、観測にかかるほどの残存量は作られない

Abundance with $R_{GW} > 0.1$

- ✓ インフレーション終了前に強結合条件が破れる領域($a_{\text{end}} > a_{\text{osc}}$)

$$f > \left(\frac{\mu^4 \lambda^2}{6 \times 10^2 g H_{\text{osc}}} \right)^{1/3}$$

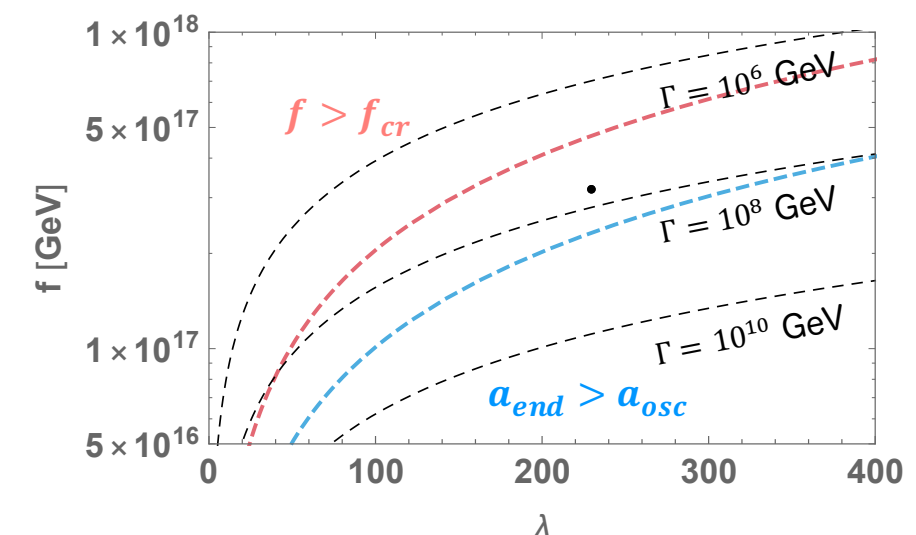


→ 右下に行くほど残存量が少なくなる

- ✓ これらの指標を元にパラメータを選択する

$$g = 10^{-2}, \quad m_Q = 2.5$$

$$\lambda = 230, \quad f = 3.2 \times 10^{17} [\text{GeV}]$$



Dark Radiation Abundance

- ✓ 生成される重力波

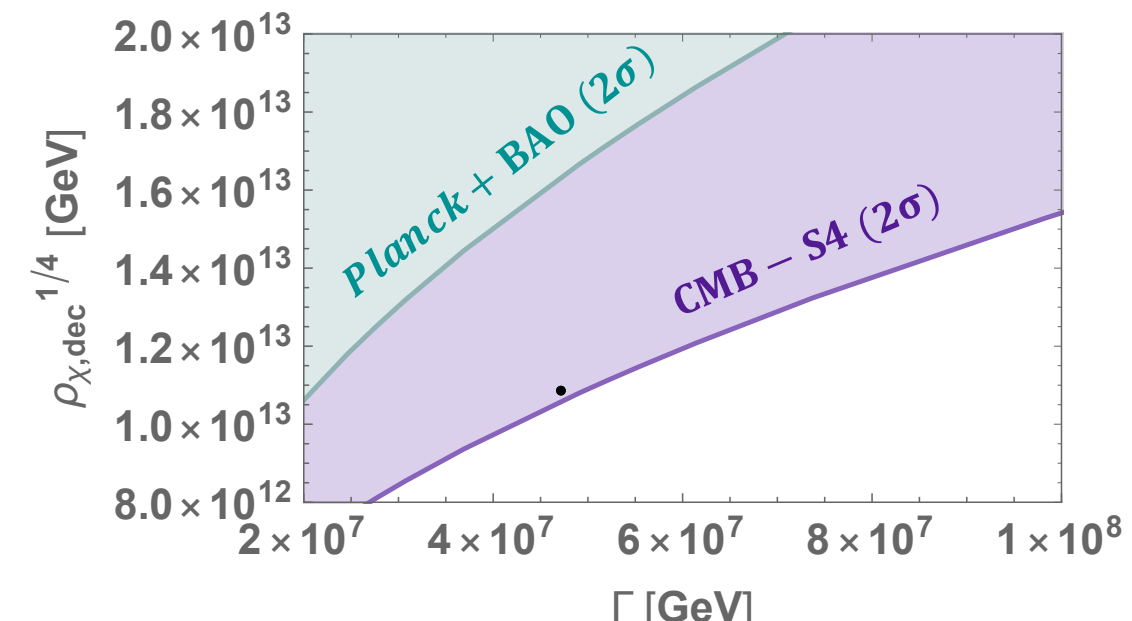
$$\mathcal{R}_{\text{GW}} = 0.16$$

$$g = 10^{-2}, \quad m_Q = 2.5$$

$$\lambda = 230, \quad f = 3.2 \times 10^{17} [\text{GeV}]$$

- ✓ 有効自由度への寄与

$$\begin{aligned}\Delta N_{\text{eff}} &= \frac{\rho_{\chi, \text{dec}}}{3M_{\text{pl}}^2 \Gamma^2} \left(\frac{g_{*\text{CMB}}}{g_{*\text{dec}}} \right)^{4/3} \left[\frac{8}{7} \left(\frac{11}{4} \right)^{4/3} + N_{\text{eff}}^{\text{SM}} \right] \\ &= 0.066\end{aligned}$$



- ✓ 観測からの制限

$$\Delta N_{\text{eff}}^{\text{CMB}} < 0.34 \quad (\text{Planck + BAO})$$

$$\Delta N_{\text{eff}}^{\text{CMB}} < 0.06 \quad (\text{CMB - S4})$$

[Aghanim, et al. *Astron. Astrophys.*, Vol. 641 (2020)]

[Abazajian, et al. (2019)]

→ $R_{\text{GW}} > 0.1$ の場合MCBの観測から検証可能な領域が存在する

Conclusion

- ✓ CMBのテンソル揺らぎの観測だけでは、インフレーションスケールが一意に決まらない
- ✓ $R_{GW} > 1$ となるパラメータ領域ではHiddenセクターの残存量は非常に小さくなることが分かった
- ✓ $R_{GW} > 0.1$ のように要求を緩和した場合、暗黒輻射制限からゲージ場が生成する重力波の寄与が検証できることが分かった